

I-220 偏平ケーブルに現われる1/2分数調波共振

長崎大学工学部 学生員 ○入江省造
 長崎大学工学部 正員 高橋和雄
 長崎大学工学部 学生員 町田健一郎

1. まえがき ケーブルの非線形応答は、付随型と分岐型に分類され、今日、付随型の振動特性については、ほぼ解明されたと言えよう。また、分岐型の場合、面内加振による応答には、分数調波共振、逆対称分岐応答、面外非線形分岐応答があり、こちらもそれぞれの特性について、既に解明がなされている。ところでサグをもつケーブルの特徴は、振動方程式中に2次の非線形項が含まれることである。したがって、分岐応答の1つである分数調波共振では、対称振動の場合、1/3分数調波共振だけでなく1/2分数調波共振が卓越する。偏平ケーブル(サグ比1/8以下)においては、この1/2分数調波共振の振動特性が、十分に解明されたとは言いがたい。また、1/2分数調波共振の近傍には、カオスの振動が生ずることが報告されている¹⁾。この場合には、解析的な方法では対応できないため、別法による解析が必要である。そこで、本研究では、まず最初に偏平ケーブルの運動方程式を1自由度の振動系にモデル化の後、調和バランス法を用いて、1/2分数調波共振の応答を求める。ついで、微分方程式を直接数値積分することによって時間応答波形を求め、両解を比較し、解析解の存在範囲を明らかにする。

2. 運動方程式 図-1に示すような偏平ケーブルが周期的等分布荷重を受ける場合の運動方程式は、Irvineの成書から次式のように与えられる²⁾。

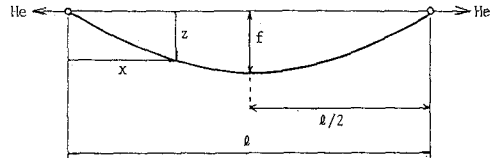


図-1 ケーブルの一般図

$$L(w) = m \frac{\partial^2 w}{\partial t^2} + \frac{8f}{l^2} h - (H_e + h) \frac{\partial^2 w}{\partial x^2} = p_0 \cos \Omega t \quad (1)$$

$$h = \frac{EA}{L_e} \left(\frac{8f}{l^2} \int_0^l w dx + \frac{1}{2} \int_0^l \left(\frac{\partial w}{\partial x} \right)^2 dx \right)$$

ここに、 w : 面内鉛直たわみ、 t : 時間、 m : ケーブルの単位長さあたりの質量、 f : ケーブルサグ、 l : ケーブルスパン長、 h : 活荷重水平張力、 E : ヤング率、 A : 断面積、 $L_e = l(1+8f^2/l^2)$: ケーブル長、 H_e : 初期水平張力、 p_0 : 外力の振幅、 Ω : 外力の円振動数

3. 解法 式(1)の解を1自由度系モデルで、次の変数分離形に仮定する。

$$w = l T(t) W(x) \quad (2)$$

ここに、 $T(t)$: 未知の時間関数、 $W(x)$: 境界条件を満足する座標関数
 上式の座標関数 W として、自由振動の対称モードを用いる。そこで、式(1)にGalerkin法を適用し、さらに、粘性減衰力を考慮すると、次式が得られる。

$$\ddot{T} + 2h\omega_1 \dot{T} + \omega_1^2 T + C_2 T^2 + C_3 T^3 = C_4 \bar{p}_0 \cos \bar{\omega} \tau \quad (3)$$

ここに、 $\omega_1 = n_1 / \pi n_0$: 1次の無次元固有円振動数、 $n_0 = \sqrt{H_e \pi^2 / m l^2}$: 弦の1次の固有円振動数、 n_1 : ケーブルの1次の固有円振動数、 $C_2 = 12\gamma I_b I_c I_d$ 、 $C_3 = I_b^2 I_d / 2$ 、 $C_4 = I_c / I_a \pi^2$ 、 $I_a = \int_0^l W'^2 d\xi$ 、 $I_b = \int_0^l W''^2 d\xi$ 、 $I_c = \int_0^l W d\xi$ 、 $I_d = k^2 / (1+8\gamma^2) I_a \pi^2$ 、 $\xi = x/l$ 、 $\gamma = f/l$: サグ比、 $k = \sqrt{EA/H_e}$: 縦波-横波伝播速度比、 $\bar{p}_0 = p_0 l / H_e$ 、 $\bar{\omega} = \Omega / n_0$ 、 $\tau = n_0 t$

1/2分数調波共振を求めるため、まず式(3)の解をFourier級数解析法にもとづき、次式のように仮定する。

$$T = \frac{A_0}{2} + c_{1/2} \cos \frac{\bar{\omega} \tau}{2} + s_{1/2} \sin \frac{\bar{\omega} \tau}{2} + c_1 \cos \bar{\omega} \tau + s_1 \sin \bar{\omega} \tau \quad (4)$$

$$= A_0 / 2 + A_{1/2} \cos(\bar{\omega} \tau / 2 - \phi_{1/2}) + A_1 \cos(\bar{\omega} \tau - \phi_1)$$

ここに、 A_0 、 $A_1 = \sqrt{c_1^2 + s_1^2}$ 、 c_1 、 s_1 : 付随応答成分、 $A_{1/2} = \sqrt{c_{1/2}^2 + s_{1/2}^2}$ 、 $c_{1/2}$ 、 $s_{1/2}$: 分岐
 応答成分、 $\phi_1 = \tan^{-1}(s_1/c_1)$ 、 $\phi_{1/2} = \tan^{-1}(s_{1/2}/c_{1/2})$: 位相差

式(4)を式(3)に代入して、調和バランス法を適用すれば、未定定数を求める連立非線形代数方程式を得る。
 これに Newton-Raphson法を用い、適当な初期値のもとに解けば、必要な解が得られる。

また、式(3)を2元連立の1階常微分方程式に変換し、Runge-Kutta-Gill法を適用して直接数値積分すれば、時間応答波形が得られる。

4. 数値結果 図-2、3には、伝播速度比 $k=30$ の扁平ケーブルでサグ比 $\gamma=0.02$ 、 0.05 の2ケースについて

横軸に無次元加振振動数、縦軸に振幅成分をとり、減衰力がない場合と考慮した場合の主調波応答と1/2分
 数調波応答を示した。荷重強度は静的応答
 が $1/1000$ となるように設定してある。 $h=0$
 の場合、主調波応答 c_1 は、あらゆる振動
 数領域で生じ、実線が外力と同位相の応答、
 破線が逆位相の応答を示している。1/2分
 数調波共振の応答は、固有振動数の2倍の
 振動数領域でのみ生じる。サグ比 $\gamma=0.02$
 の場合、2次の非線形項が支配的な軟化パ
 ネ特性を示し、 $\gamma=0.05$ の場合、3次の非
 線形項が支配的な硬化パネ特性を示す。図
 -2、3において減衰力を考慮すると、主調
 波応答では振幅が大きい範囲でその効果が
 大きい。分数調波共振の方は、もっと小さ
 な減衰力で求める。図-4に $\gamma=0.02$ で $h=0$ 、
 0.008 の場合の応答を示した。図-2、3の主調
 波共振の応答では減衰力の影響は、サグ比
 と無関係だが、分数調波共振ではサグ比
 によって影響が異なる。

図-2、4には、Runge-Kutta-Gill法より
 得られた時間応答波形が定常となつてから
 の応答振幅をプロットした。これより、両
 者はほぼ一致することが確かめられる。

5. まとめ 今回の研究では、扁平ケーブ
 ルに現われる1/2分数調波共振特性を明ら
 かにし、数値シミュレーションによる解と
 の比較を行なった。

今後、このシミュレーションによって、
 1/2分数調波共振近傍のカオスの応答を明
 らかにしたい。

参考文献 1) Rega, G. Benedettini, F.:
 Journal of Sound Vibration, Vol. 132,
 No. 3, 1989, 2) 町田・高橋・夏秋: 長崎大学
 工学部研究報告, 第22巻, 第38号, 1992

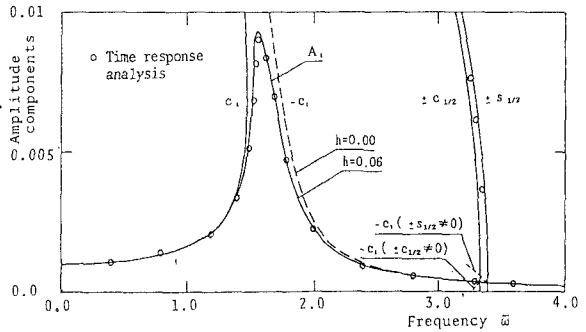


図-2 1/2分数調波共振 ($k=30, \gamma=0.02$)

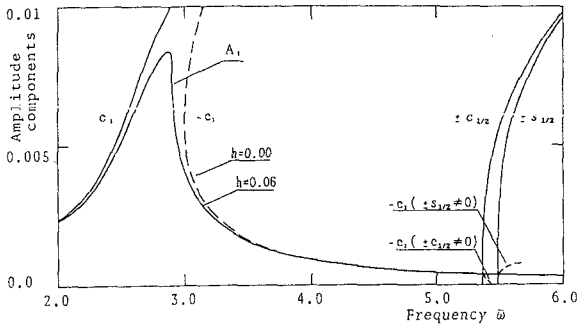


図-3 1/2分数調波共振 ($k=30, \gamma=0.05$)

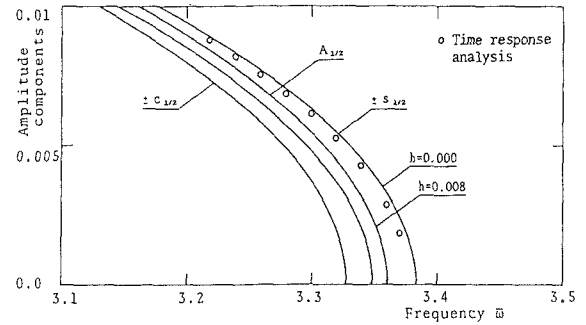


図-4 1/2分数調波共振 ($k=30, \gamma=0.02, h=0.008$)